



مرواری بر ماقماتیسم پالئوزوئیک در بخشی از ایران مرکزی

فریماه آیتی^{*}، موسی نقره ئیان^۱، محمود خلیلی^۲

۱- شهرکرد، دانشگاه پیام نور، گروه زمین شناسی

۲- اصفهان، دانشگاه اصفهان، دانشکده علوم، گروه زمین شناسی

(دریافت مقاله: ۸۸/۸/۷ ، نسخه نهایی: ۸۹/۳/۲۴)

چکیده: برای بررسی ویژگی‌های ماقماتیسم پالئوزوئیک در ایران مرکزی، برونزدهای آتشفسنای مناطق ابیانه، زفره-باقرآباد و دالمه مورد بررسی قرار گرفت و با مناطق مشابهی همچون جهق و پل خاوند مقایسه شدند. افق‌های آتشفسنای که طی چند فاز پیاپی فوران کرده‌اند، به صورت جریانی از گدازه با ساخت توده‌ای و بالشی و به صورت میان لایه‌ای در ماسه‌سنگ‌ها و رسوب‌های کربناتی رخنمون دارند. نمودارها و شواهد مختلف حاکی از ماهیت انتقالی ماقما (تولیتی با گرایش به سمت قلیایی) و جایگاه تشکیل درون صفحه‌ی قاره‌ای است که با وجود حرکت‌های کششی در ایران مرکزی در خلال پالئوزوئیک سازگار است. پیدایش سنگ‌های نفوذی کربونیfer در باقرآباد و زفره شواهدی از رخداد ضعیف ماقماتیسم ناشی از حرکت‌های محلی کششی- فشارشی در صفحه‌ی ایران مرکزی است. در مقیاس جهانی این حرکت‌ها با کوهزایی هرسی‌نین قابل مقایسه است.

واژه‌های کلیدی: ماقماتیسم، پالئوزوئیک، ایران مرکزی.

روش بررسی

بررسی‌های زمین‌شناسی مناطق مورد نظر شامل بررسی‌های صحرایی، سنگ نگاشتی، آنالیزهای ICP-MS و XRF و آنالیزهای (دانشگاه اصفهان و آزمایشگاه Amdel استرالیا) و آنالیزهای مایکرورپوب (دانشگاه اکلاهماستی آمریکا) است. داده‌های شیمیایی نمونه‌ها روی نمودارهای مختلف پردازش و نتایج حاصل با یکدیگر مقایسه شدند. داده‌های به کار رفته در این پژوهش از منابع [۸، ۹، ۴۹] گرفته شده‌اند.

زمین‌شناسی مناطق مورد بررسی

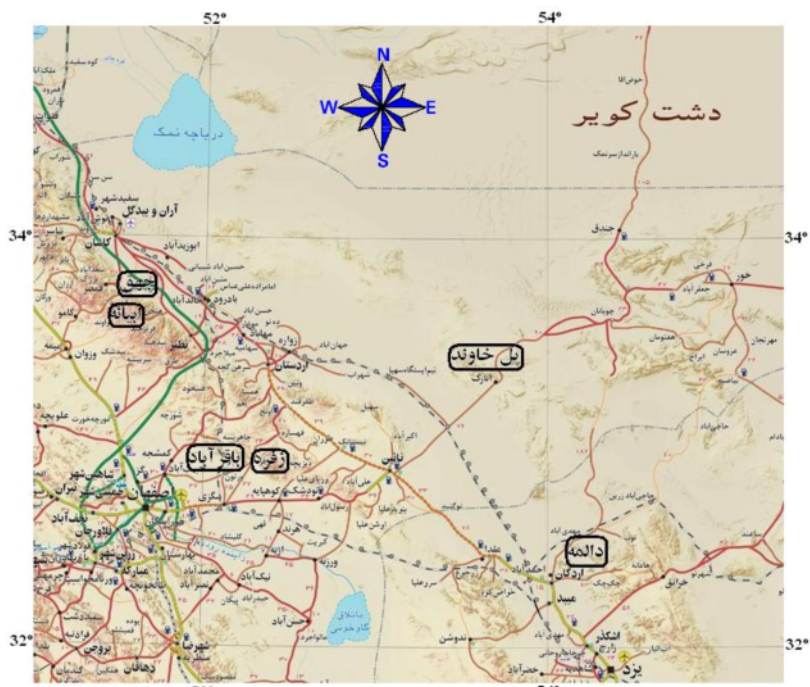
منطقه‌ی ابیانه (سُه) در جنوب کاشان و در ۱۴۰ کیلومتری شمال اصفهان در گستره‌ی طول‌های جغرافیایی ۵۱°، ۱۹° و ۵۰°، ۵۱° شرقی و عرض‌های جغرافیایی ۳۳°، ۳۸° و ۳۳°، ۱۰° و ۵۰°

اطلاعات پیرامون ماقماتیسم پالئوزوئیک در صفحه‌ی ایران به دلیل گسترش کم آن ناچیزند. شاید فقدان نسبی سنگ‌های نفوذی پالئوزوئیک ناشی از تشدید فعالیت‌های کافتی درون قاره‌ای در ایران باشد. به منظور بررسی ویژگی‌های سنگ شناسی سنگ‌های آتشفسنای پالئوزوئیک زیرین در گستره‌ی ایران مرکزی، برونزدهای این سنگ‌ها در منطقه‌ی ابیانه، زفره-باقرآباد و دالمه بررسی و با مناطق مشابهی چون جهق و پل خاوند (شکل ۱) مقایسه شدند. بررسی و مقایسه‌ی سنگ شناسی بازالت‌های پالئوزوئیک در این مناطق، می‌تواند مکمل اطلاعات موجود در خصوص سرگذشت زمین‌شناسی و رژیم زمین‌ساختی - ماقمایی حاکم بر ایران مرکزی در زمان پالئوزوئیک باشد.

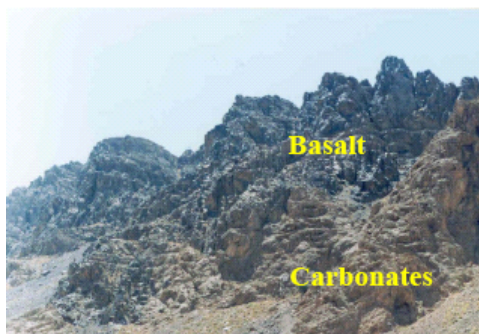
*نویسنده مسئول، تلفن: ۰۳۸۱ (۲۲۲۶۳۱)، نامبر: ۰۳۸۱ (۲۲۲۲۹۰)، پست الکترونیکی: F_ayati@geol.ui.ac.ir

دولومیت‌های سلطانیه (اینفراکامبرین) و سازند میلا جای گرفته‌اند (شکل ۲). آتشفسانی‌ها به صورت جریانی از گدازه‌ی تیره رنگ با بافت افانتیک، ساخت تودهای و بالشی به چشم می‌خورند. وجود ساخت بالشی و بادامکی نشانگر تکاپوهای آتشفسانی زیردریایی است. همزمانی آتشفسانی‌ها با رسوب‌ها (شکل ۳) حاکی از وجود حرکت‌های کششی است که نمودی از عملکرد جنبش‌های کوهزایی و زمین‌ساختی کالدونین در ایران است. آثار دگرگونی ضعیف در همه‌ی سنگ‌های آتشفسانی سیلورین وجود دارد که به احتمال نتیجه‌ی عملکرد فاز کالدونین است، هرچند حرکت‌های جوانتر نیز موثر بوده‌اند. حرکت‌های کالدونین در ایران از نوع خشکی‌زایی است [۲]. در این مرحله بخش بزرگ ایران از آب خارج بوده است در صورتی که در ایران مرکزی و در سیلورین پسین و دونین پیشین، رسوب‌های ماسه سنگی سرخ و ژیپس (سازند پادها) بر جای کالدونین گذاشته شده است. همزمان با به وجود آمدن خشکی کالدونین جنوب شرقی است. به این ترتیب سنگ‌های آتشفسانی بازی تا متوسط که در ناحیه‌ی رباط قره بیل، خاور سمنان، جنوب کاشان و نیز ازبک کوه و انارک وجود دارند تشکیل شده‌اند [۳].

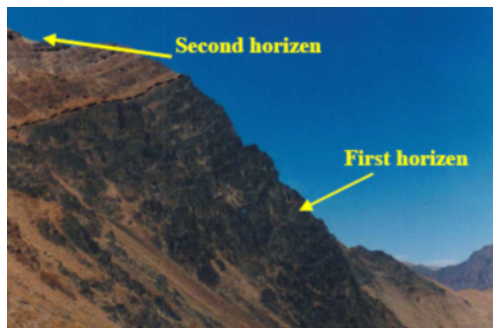
شمالی قرار دارد. بخش بزرگ سنگ‌های آتشفسانی که در این منطقه گسترش دارند به سنگ‌های آذراواری ائوسن با ترکیب عمومی توف، توف آندزیتی، داسیت، ریوداسیت، توف برشی و لایلی وابسته‌اند. سنگ‌های آتشفسانی پلیوسن از توف و گدازه‌های داسیتی که روی رسوب‌های الیگومیوسن قرار گرفته‌اند شروع شده و به گدازه‌های آندزیتی که به آخرین فعالیت آتشفسانی ناحیه وابسته‌اند ختم می‌شوند [۱]. در زمان پلیوسن، منطقه‌ی سه و نواحی مجاور آن شاهد یک فعالیت شدید آتشفسانی همراه با تزریق ماقمای اسیدی (توده‌ی گرانوویوریتی قهروند) بوده است. بخش دیگر سنگ‌های آتشفسانی منطقه با گستردگی کمتر، بین رسوب‌های پالئوزوئیک پراکنده است. این سنگ‌های بازالتی به شدت دگرسان شده‌اند. در کل بیشتر روانه‌های آتشفسانی پالئوزوئیک فرسایش یافته‌اند و اگر آثاری از گدازه‌ها باقی مانده باشد، یا با رسوب‌های جوانتر پوشیده شده و یا پدیده‌ی دگرسانی در سازند به حد زیادی پیشرفت کرده است. سنگ‌های بازالتی در سازند کهر قدیمی‌ترین فعالیت آتشفسانی منطقه را نشان می‌دهد. دومین فعالیت در دوران اول با سنگ‌های بازالتی مشخص می‌شود. سنگ‌های اخیر با سن حدود ۴۵۸ میلیون سال [۱] به صورت لایه در شروع سازند نیور (سیلورین) قرار گرفته و یا به صورت افق‌های آتشفسانی بین رسوب‌های ماسه‌سنگی و



شکل ۱ موقعیت مناطق مورد بررسی روی نقشه‌ی راههای ایران (مقیاس ۱/۳۰۰۰۰۰)



شکل ۲ بروز ریزی مواد آتشفشانی سیلورین روی کربنات سازند میلا.



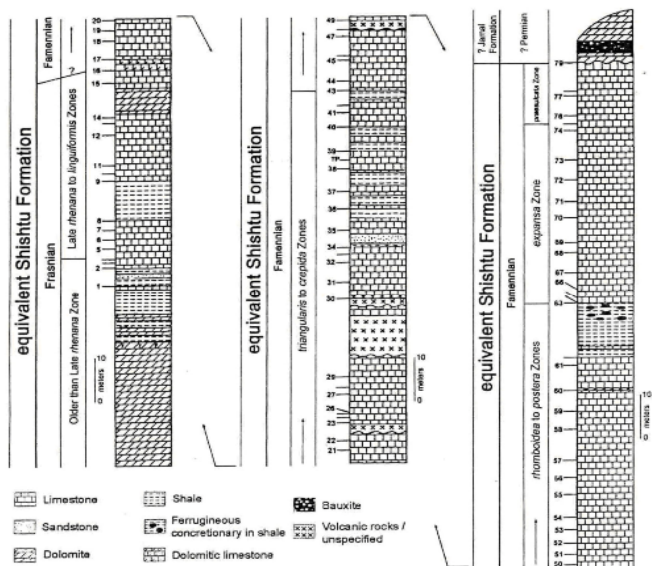
شکل ۳ افق های آتشفشانی وابسته به هم در قاعده رسوب های سازند نیور.

کرده‌اند در حالیکه در سنگ‌های رسوبی پرمین روی آن‌ها اثری از این توده‌ها دیده نمی‌شود بلکه با رسوب‌های پرمین به صورت دگرشیب پوشیده شده‌اند و این حاکی از حضور حرکت‌های هرسنین در این بخش از ایران مرکزی است. دمای ماجماهی نفوذی تقریباً در همه جا به صورت دگرگونی مجاورتی ضعیف ولی واضح در سنگ‌های رسوبی همراه، قابل رویت است که با تبلور و مرمی شدن کربنات‌ها جلوه می‌کند. گاهی قطعات آهکی مرمی شده در توده‌های نفوذی مشاهده می‌شوند. دیگر منطقه‌ی مورد بررسی، منطقه‌ی دالمه در ۶۰ کیلومتری شمال شرقی اردکان یزد (با عرض جغرافیایی $۳۲^{\circ}۴۱'$ شمالی و طول جغرافیایی $۵۴^{\circ}۲۵'$ شرقی) است. در این منطقه سنگ‌های جغرافیایی $۵۴^{\circ}۲۵'$ شرقی) است. در این منطقه سنگ‌های پرکامبرین متشکل از فیلیت - میکاشیست و گنیس وابسته به سازند تاشک بیرون زدگی دارند. سنگ‌های یاد شده قدیمی‌ترین سنگ‌های این منطقه‌اند [۵]. روی سنگ‌های یاد شده، سری ریزو قرار دارد که مخلوطی از سنگ‌های دولومیت سلطانیه، گچ و ریولیت است. روی آن‌ها پس از یک نبود چینه شناسی از اردویسین تا دونین میانی، یک سری رسوبی متشکل از آهک، دولومیت، شیل و ماسه سنگ قرار می‌گیرند که معادل سازند شیشتو در شرق ایران در نظر گرفته می‌شود. سری رسوبی آخر دقیقاً بررسی و به صورت نمودار ستونی نمایش

زفره و باقرآباد: در مناطق شمال و شمال شرقی اصفهان رسوب‌های دونین با گسترش زیاد، قدیمی‌ترین سنگ‌های منطقه را تشکیل می‌دهند. از مناطق مورد بررسی، یکی در ۵ کیلومتری جنوب غربی دهکده زفره (با عرض جغرافیایی $۵۴^{\circ}۳۲'$ شمالی و طول جغرافیایی $۵۲^{\circ}۱۷'$ شرقی) و ۶۰ کیلومتری شمال شرقی اصفهان و دیگری در غرب دهکده‌ی باقر آباد، در ۴۰ کیلومتری شمال شرقی اصفهان (با عرض جغرافیایی $۳۲^{\circ}۵۰'$ شمالی و طول جغرافیایی $۵۱^{\circ}۵۹'$ شرقی) قرار دارند. در هر دو منطقه، کوارتزیت‌های روشن معادل سازند پادها در قاعده و سازند بهرام شامل آهک و دولومیت‌های تیره روی آن‌ها قرار گرفته‌اند. این سنگ‌های کربناتی با یک دنباله‌ی رسوبی شامل شیل، آهک و مارن پوشیده شده‌اند (معادل سازند شیشتو در شرق ایران با سن دونین فوکانی تا کربونیفر تحتانی). با نبود چینه‌شناسی در کربونیفر، رسوب‌های پر فسیل پرمین به صورت هم شیب روی سازند شیشتو قرار گرفته‌اند. نبود چینه‌شناسی یاد شده بین دونین فوکانی و پرمین ناشی از حرکت‌های اپیروژنی تحت تاثیر ذوب یخها در کربونیفر فوکانی است [۴]. رگه‌ها و توده‌های نفوذی کوچکی (سنگ‌های بازی هیپ آبیسال) با ترکیب گابرو تا دیوریت در هر دو ناحیه مشاهده می‌شود که در سنگ‌های رسوبی دونین فوکانی نفوذ

افق آتشفسانی نامبرده که به شدت دگرسان شده‌اند به موازات لایه‌بندی بوده و در برخی از آن‌ها ساخت بالشی به طور کاملاً واضح قابل تشخیص است. همچنین تأثیر گرمای ماقم‌گما در لایه کربناتی زیرین کاملاً مشخص بوده که باعث تشکیل لایه نازک مرمر شده است در حالیکه در لایه‌های رویی اثری از آن مشاهده نمی‌شود. حضور ساخت بالشی و وجود بافت بادامکی دلیلی بر رخداد آتشفسان زیردریایی همزمان با رسوبگذاری است. افق‌های پنجگانه فعالیت‌های آتشفسانی در دالمه که همزمان با رسوب‌های کربناتی دونین پسین است و نفوذ ماقم‌گما کربونیفر در این رسوب‌ها نشان دهنده حرکت‌های ضربه‌ای کششی – فشارشی در پوسته‌ی ایران زمین است و در مقیاس جهانی این حرکت‌ها با رخداد فاز کوه‌زایی هرسی نین در ایران قابل مقایسه است. تکرار روانه‌های بازالتی می‌تواند نشاندهنده تکرار فازهای کششی باشد.

داده شده است (شکل ۴). به طوریکه از این نمودار ستونی برداشت می‌شود، ۵ افق بازالتی بین رسوب‌های یاد شده قابل تشخیص‌اند (شکل ۵). سن این آتشفسان‌ها به کمک کنودونت‌های موجود در سنگ‌های کربناتی همراه، فامنین زیرین تامیانی تشخیص داده شده است [۶]. اولین و دومین افق آتشفسانی به ترتیب با ضخامت $1/8$ و $8/8$ متر و سومین و چهارمین افق که با یک نوار نازک آهکی به ضخامت $7/2$ متر از هم جدا شده‌اند، به زمان فامنین تحتانی وابسته‌اند. آخرین افق آتشفسانی با 2 متر ضخامت دارای سن فامنین است. بنابر بررسی‌های تحقیقات [۶]، ماقم‌اتیسم هرسی نین در سازند بهرام به صورت همزمان و ضربه‌ای عمل کرده است، به طوریکه به صورت 5 مرحله‌ی آتشفسانی زیردریایی به ضخامت تقریباً یکسان حین رسوبگذاری به جای گذاشته شده است و نشان دهنده‌ی سن قدیمی‌تر آتشفسان اردکان نسبت به زفره است، هر چند که هردو به فاز هرسی نین نسبت داده می‌شود. تمام 5



شکل ۴ نمودار ستونی منطقه‌ی دالمه [۶].



شکل ۵ قرار گیری پی در پی مواد آتشفسانی (افق اول و دوم) با لایه‌های رسوبی دونین در منطقه.

سنگ نگاری

سنگ‌های مورد بررسی بیشتر از نوع بازالت و بازالت آندزیتی با بافت‌های پورفیری، اینترسرتال، میکرولیتیک و بادامکی هستند. نمونه‌ها حاوی فنوکریستهای پلازیوکلاز، الیوین همراه با آثاری از کلینوپیروکسن‌اند. این بلورها در خمیره‌ای مشکل از پلازیوکلاز و مقادیری کانی‌های ثانوی از نوع کربنات، کلریت و اکسید آهن قرار گرفته‌اند. کانی‌های کدر مانند مگنتیت، هماتیت و ایلمنیت و کانی‌های کلسیت، کوارتز، زئولیت و کلریت به عنوان کانی‌های ثانوی و به صورت پرکننده‌ی درز و شکستگی‌ها مشاهده می‌شوند. کانی مهم تشکیل دهنده‌ی بازالت‌ها، پلازیوکلاز با بلورهای شکل‌دار تا نیمه‌شکل‌دار است (فنوکریست و میکرولیت). پلازیوکلازهای کلسیک کم و بیش سوسوریتی شده‌اند. تعدادی از پلازیوکلازها دارای حاشیه‌ی تحلیل رفته و گرد شده‌اند. گرم شدن پلازیوکلاز در دماهای بالاتر از دمای خط گذار باعث حل شدن این فنوکریست‌ها و گردشدن آنها می‌شود. این حالت یا تحت تاثیر کاهش ناگهانی فشار و یا در اثر اختلاط ماقمایی رخ می‌دهد. به علت عدم وجود شواهدی مبنی بر رخداد اختلاط ماقمایی، کاهش فشار هنگام خروج ماقمای را می‌توان عامل ایجاد این حاشیه‌های گرد شده در نظر گرفت. حضور فلدسپات‌های سدیک تازه تشکیل، و نیز حضور کانی‌های آبدار همچون کلریت و اپیدوت حاکی از رخداد اسپیلیتی شدن است. فنوکریست‌های شکل‌دار تا نیمه‌شکل‌دار آبدار همچوی شدن را در آنها مشاهده‌ی قلیایی است و می‌توان ایدنگسیتی شدن را در آنها مشاهده کرد در مقاطع به چشم می‌خورند. فنوکریست‌های پیروکسن به صورت منشورهای کوتاه، شکل‌دار تا نیمه‌شکل به رنگ سبز روشن مایل به زرد و به تعداد محدود مشاهده می‌شوند. تعدادی از فنوکریست‌های کلینوپیروکسن اورالیتی شده‌اند که حضور آمفیبول سبز همراه با کلریت و اپیدوت محصول این نوع دگرسانی است. آتشفشن‌های مورد بررسی خصوصاً در مناطق ایانه، دالمه و پل خاوند در تناوب با رسوب‌ها و نوارهایی از ماسه سنگ و آهک‌های ماسه‌ای هستند. از آنجا که کنگلومراها و ماسه سنگ‌ها در محیط‌های دریایی باعمق بیشتر تشکیل می‌شوند، آهک‌ها در محیط‌های دریایی با اعمق بیشتر تشکیل می‌شوند، جنس رسوب‌هایی که در لابه‌لای بازالت‌های یاد شده دیده می‌-

جهق؛ در منطقه‌ی جهق (با طول جغرافیایی $51^{\circ} 31'$ شرقی و عرض جغرافیایی $41^{\circ} 33'$ شمالی) قدیمی‌ترین واحد شامل دولومیت‌های زرد آجری و شیل‌های ماسه‌ای سبز رنگ با شیستوزیت محلی و گاهی دگرسان است که در هسته‌ی مرکزی تاقدیس جهق دیده می‌شوند. این واحد با سنگ‌های آتشفشنی پوشیده شده است. بر اساس دنباله‌های چینه شناسی [۷] این واحد به اردوبویسین وابسته است. رخمنون سنگ‌های سیلورین درقه‌رود و جهق شامل واحد آتشفشنی درقاعده و ماسه سنگ سرخ با ضخامت ناچیز در بخش فوقانی بوده که با یکدیگر سازند نیور را می‌سازند. آتشفشن‌های قاعده‌ی سیلورین در این منطقه مورد بررسی قرار گرفته است [۸]. این واحد به تدریج به سازند پادها تبدیل شده است. و بالاخره به سازند بهرام تبدیل می‌شود. روی این سازند، دولومیت‌ها و آهک‌های دولومیتی سیلیسی شده که معادل سازند جمال (پرمین بالایی) است، قرار گرفته است. گسترش این سازندها در جنوب دره‌ی ابیانه بیشتر است و دنباله‌ی و توالی نسبتاً خوبی دارد. آتشفشن‌های جهق به صورت توده‌ای با ستبرای زیاد و دارای ساخت توده‌ای، ستونی و گاهی بالشی هستند. به طور کلی سنگ‌های منطقه‌ی جهق بازی تا نیمه بازی بوده و بر اساس بررسی‌های سنگ نگاشتی می‌توان آنها را در سه دسته‌ی تراکی بازالت الیوین‌دار، تراکی آندزی بازالت و آندزی بازالت رده‌بندی کرد [۸]. دیگر منطقه‌ی مورد بررسی، منطقه‌ی انارک (پل خاوند) در شمال شرقی شهرستان نایین است (با عرض جغرافیایی $18^{\circ} 33'$ شمالی و طول جغرافیایی $53^{\circ} 41'$ شرقی). بازالت‌های موجود در منطقه‌ی پل خاوند (کوه عبدالحسین) که مورد بررسی‌های سنگ‌شناختی قرار گرفته است [۹] دارای ضخامت ۱۰۰-۱۲۰ متر است و در تناوب با ماسه سنگ‌های کوارتزی قرار گرفته‌اند. این تناوب ۹ مرتبه تکرار شده است. این واحد سنگی همراه با ماسه سنگ‌ها جزء سازند پادها محسوب می‌شوند که بین دو سازند نیور و سیبزار واقع شده‌اند. در کوه عبدالحسین دنباله‌ی نسبتاً کاملی از سنگ‌های پالئوزوئیک از اردوبویسین تا پرمین مشاهده می‌شود [۹]. سن این واحد سنگی با توجه به قرار گرفتن آن بین سازند نیور (سیلورین) در پایین و سازند سیبزار (دونین میانی) در بالا، دونین زیرین است.

عنوان وسیله‌ای برای شناسایی محیط پارینه زمین ساخت ماگمای خروجی و تشخیص نوع ماگمای مادر به کاربرده می‌شود [۱۰]. نتایج آنالیز مایکرپریوب گروهی از پیروکسن‌ها در نمونه‌های مورد بررسی در جدول ۱ آمده‌اند. شکل ۶ [۱۱] نشان‌دهنده‌ی ترکیب اوژیت برای پیروکسن‌هاست. در نمودار $\text{SiO}_2/\text{Al}_2\text{O}_3$ [۱۲] بیشتر نمونه‌های مورد بررسی در میدان ساب آلکالن قرار می‌گیرند (شکل ۷). در شکل ۸ و ۹ [۱۳، ۱۴] نمونه‌های مورد نظر در گستره‌ی تولئیتی قرار گرفته‌اند. نمودار ۱۰ بازالت‌های قلیایی، تولئیت‌ها و بازالت‌های آهکی-قلیایی را از هم جدا می‌کند [۱۴]. در این نمودار نمونه‌ها به سمت قلیایی تمایل بیشتری نشان می‌دهند. بر پایه بررسی‌های انجام شده، بازالت‌های مناطق مورد بررسی را می‌توان جزء سری تحولی (تولئیتی با تمایل به سمت قلیایی) در نظر گرفت.

شوند (ماسه سنگ) یک محیط رسوبی کم ژرف‌ا و یا دریاچه‌ای را نشان می‌دهد. ترکیب شیمیایی و کانی شناسی رسوب‌های آواری، به ویژه ماسه سنگ‌ها به خاستگاه و موقعیت زمین ساختی آنها بستگی دارد. آثاری از کانی‌های سنگین همچون زیرکن و تورمالین همراه با فلدسپات‌های پتاسیک سریسیتی شده در مقاطع ماسه سنگی به چشم می‌خورند که مشخصه ماسه سنگ‌های مربوط به نواحی ریفت درون قاره‌ای است. کانی شناسی رسوب‌های آواری، حضور افق‌های آتشفسانی و میان‌لایه‌بودن آتشفسانی‌هایی با رسوب‌ها، نشان از محیط ریفتی و وجود حرکت‌های کششی است.

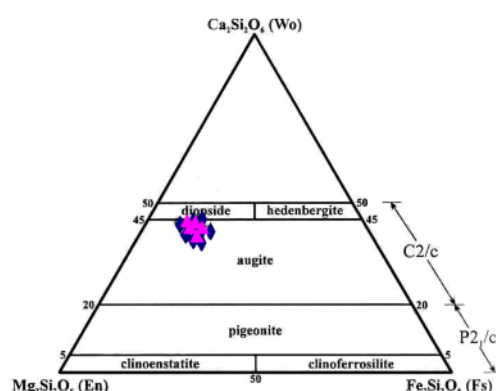
شیمی پیروکسن

ترکیب پیروکسن در سنگ‌هایی که دستخوش دگرگونی با درجه‌ی پایین شده‌اند چندان تغییر نمی‌کند و شیمی آن به

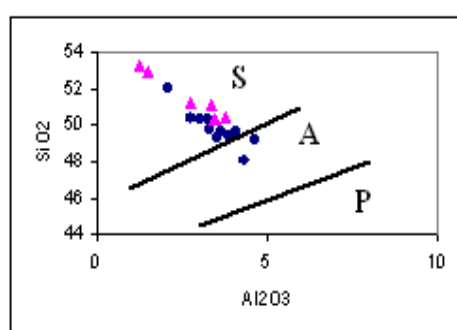
جدول ۱ نتایج آنالیز ریزپردازشی چند درشت بلور کلینوپیروکسن در ولکانیک‌های مناطق مورد بررسی (A: ابیانه، P: پل خاوند)

PX	درصد وزنی											
	SiO_2	TiO_2	Al_2O_3	Fe_2O_3	FeO	MnO	MgO	CaO	Na_2O	K_2O	Tot	
Px-A1	۴۹,۳۳	۱,۱۹	۳,۵۶	۲,۹۶	۲,۹	۰,۱۲	۱۵,۷۶	۲۱,۵۷	۰,۲۸	۰	۹۸,۶۸	
Px-A2	۴۹,۷۴	۱,۰۵	۲,۳	۲,۱۴	۲,۰۱	۰,۱	۱۶,۲۶	۲۱,۱۴	۰,۲۷	۰	۹۸	
Px-A3	۵۰,۳۱	۰,۹۶	۳,۰۶	۲,۶	۳,۶۲	۰,۱۳	۱۶,۱۳	۲۱,۳۵	۰,۲۵	۰	۹۸,۴۳	
Px-A4	۵۰,۴۱	۰,۸۶	۲,۷۴	۳,۴۸	۲,۸۸	۰,۱۲	۱۶,۴۸	۲۱,۴	۰,۲۵	۰	۹۶,۷	
Px-A5	۴۹,۳۳	۱,۵۳	۴,۶۳	۳,۶۴	۴,۷۸	۰,۱۳	۱۵,۵	۲۰,۵۷	۰,۲۹	۰	۹۹,۲۷	
Px-A6	۴۹,۲۲	۰,۷	۲,۰۸	۰,۰۷	۵,۷	۰,۱۳	۱۶,۴۲	۲۰,۹۸	۰,۲	۰	۹۸,۲۸	
Px-A7	۵۲,۵۳	۰,۶۶	۱,۸۳	۰	۵,۸۲	۰,۱۴	۱۶,۹۳	۲۰,۴۶	۰,۲۱	۰	۹۸,۵۸	
FeO*												
Px-p1	۵۳,۷۷	۰,۷۵	۱,۲۶	۹,۸۲	۱۶,۰۳	۱۸,۷۵	۰,۳۲	۰,۰۲	۰,۰۲	۱۰۰,۵۴		
Px-p2	۵۱,۱۱	۰,۹۵	۲,۷۸		۱۵,۹۸	۱۸,۸۱	۰,۲۶	۰,۰۱	۰,۰۱	۹۸,۸۴		
Px-p3	۵۲,۹۶	۰,۵۱	۱,۵		۱۷,۳۳	۱۸,۱۲	۰,۲۴	۰,۳	۰,۰۳	۹۹,۲۲		
Px-p4	۵۱,۱۷	۱,۱	۳,۳۸		۱۳,۸۱	۲۰,۷۷	۰,۳۷	۰,۰۲	۰,۰۲	۱۰۰,۰۲		
Px-p5	۵۰,۴۵	۱,۰۳	۳,۷۸		۱۳,۶۵	۲۰,۳۷	۰,۳۸	۰,۰۱	۰,۰۱	۹۹,۲۹		
Px-p6	۵۰,۲۶	۱,۹۲	۳,۴۸		۰,۱۶	۱۴,۴۵	۲۰,۷۳	۰,۳۷	۰,۰۱	۹۹,۸۵		

PX	تعداد کاتیون‌های برپایه اکسیژن										
	Sample	Si	Ti	Al_{IV}	Al_{VI}	Fe^{3+}	Fe^{2+}	Mn	Mg	Ca	Na
Px-A1	۱,۸۳	۰,۰۳۳	۰,۱۵۷	۰	۰,۱۱۱	۰,۰۹۱	۰,۰۰۴	۰,۸۷۷	۰,۸۶۳	۰,۰۲۱	۴
Px-A2	۱,۸۲۳	۰,۰۳۰	۰,۱۳۷	۰,۰۰۹	۰,۰۸۸	۰,۰۹۴	۰,۰۰۳	۰,۹۸	۰,۸۵۸	۰,۰۲	۴
Px-A3	۱,۸۷	۰,۰۲۷	۰,۱۲۲	۰,۰۱۳	۰,۰۷۳	۰,۱۱۳	۰,۰۰۴	۰,۸۹۸	۰,۸۵۴	۰,۰۱۸	۴
Px-A4	۱,۸۷	۰,۰۲۴	۰,۱۲	۰	۰,۰۹۷	۰,۰۹	۰,۰۰۴	۰,۹۱۴	۰,۸۵۶	۰,۰۱۸	۴
Px-A5	۱,۸۲۹	۰,۰۴۳	۰,۱۷۱	۰,۰۳۲	۰,۰۷۸	۰,۱۴۸	۰,۰۰۴	۰,۸۵۹	۰,۸۱۹	۰,۰۲۱	۴
Px-A6	۱,۹۴	۰,۰۲	۰,۰۵۹	۰,۰۳۲	۰,۰۰۲	۰,۱۷۶	۰,۰۰۴	۰,۹۱۳	۰,۸۳۹	۰,۰۱۵	۴
Px-A7	۱,۹۵	۰,۰۱۹	۰,۰۵۰	۰,۰۳۰	۰	۰,۱۸۱	۰,۰۰۴	۰,۹۳۷	۰,۸۱۴	۰,۰۱۵	۳,۹۹
Al											
Px-p1	۱,۹۷	۰,۰۲	۰,۰۶	۰	۰,۳	۰,۰۱	۰,۸۸	۰,۷۴	۰,۰۲	۴	
Px-p2	۱,۹۱	۰,۰۳		۰,۱۲	۰	۰,۲۵	۰,۰۱	۰,۸۹	۰,۷۵	۰,۰۲	۴
Px-p3	۱,۹۶	۰,۰۱		۰,۰۷	۰	۰,۲۴	۰,۰۱	۰,۹۶	۰,۷۲	۰,۰۲	۴,۰۱
Px-p4	۱,۹۱	۰,۰۳		۰,۱۵	۰,۰۱	۰,۲۸	۰,۰۱	۰,۷۷	۰,۸۳	۰,۰۳	۴,۰۲
Px-p5	۱,۸۹	۰,۰۳		۰,۱۷	۰,۰۱	۰,۲۸	۰,۰۱	۰,۷۶	۰,۸۲	۰,۰۳	۴,۰۱
Px-p6	۱,۸۷	۰,۰۵		۰,۱۵	۰,۰۲	۰,۲۴	۰,۰۱	۰,۸	۰,۸۳	۰,۰۳	۵

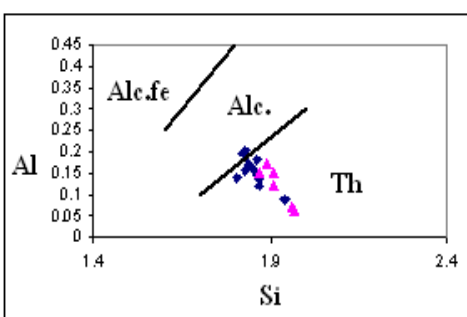


شکل ۶ نمودار مثلثی [۱۱] $\text{CaSi}_2\text{O}_6\text{-MgSi}_2\text{O}_6\text{-Fe}_2\text{Si}_2\text{O}_6$

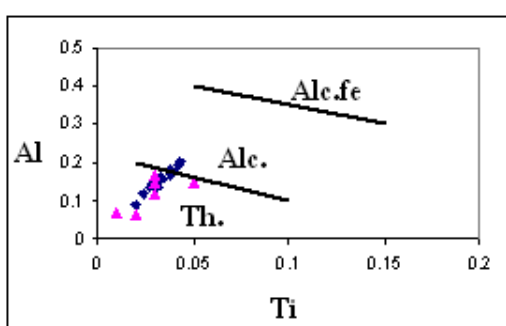


شکل ۷ تصویر ترکیب کلینوپیروکسن‌های مورد بررسی در نمودار $\text{SiO}_2/\text{Al}_2\text{O}_3$

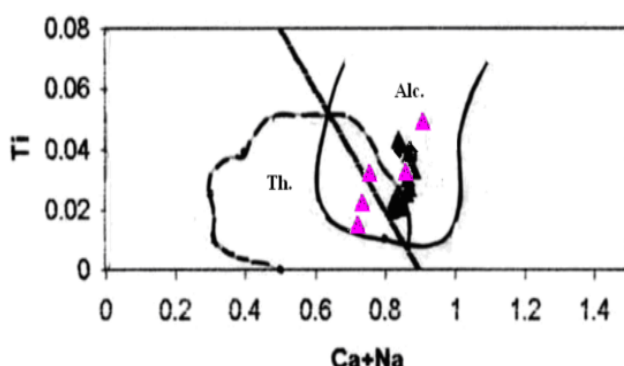
S: subalkaline, A: alkaline, P: peralkaline



شکل ۸ تصویر ترکیب کلینوپیروکسن‌های مورد بررسی در نمودار Al/Si
Alc. fe: Alkaline feldspathoide (Alc.fe), Ale.: Alkaline, Th: Tholeiite



شکل ۹ تصویر ترکیب کلینوپیروکسن‌های مورد بررسی در نمودار Al/Ti

شکل ۱۰ نمودار $\text{Ti}/\text{Ca}+\text{Na}$ و پلات نمونه‌های مورد بررسی در آن [۱۴]

قلیایی به ویژه سدیم در اثر اسپیلیتی شدن است. لذا از این نمودار می‌توان برای نشان دادن تاثیر دگرسانی استفاده کرد. این سنگها بر اساس شکل ۱۲ [۱۶] به دلیل بالا بودن میزان Nb/Y در گستره‌ی بازالت قلیایی قرار می‌گیرد و در شکل ۱۳ در گستره قلیایی با گرایش به سمت ساب آکالان دیده می‌شوند. نمودارهای ۱۴، ۱۵ و ۱۶ [۱۸-۱۶] نشانگ طبیعت تحولی نمونه‌هاست. نمونه‌ها در نمودار AFM [۱۹] روند غنی شدگی از آهن و تمایل تولئیتی از خود به نمایش می‌گذارند (شکل ۱۷). در مراحل اولیه و اصلی جدایش بازالت‌های تولئیتی، روند غنی شدگی از آهن دیده می‌شود ولی در ماقماهای آهکی-قلیایی چنین روندی وجود ندارد [۲۰].

بررسی ژئوشیمی و خاستگاه سنگ‌ها

بررسی بازالت‌ها به عنوان ماقمای اولیه‌ی منجمد شده یا ماقمای اولیه‌ی کمی تغییریافته، می‌تواند دریچه‌ای برای پی بردن به ترکیب شیمیایی و وضعیت فیزیکی حاکم برگوشه باشد. نتایج بدست آمده از تجزیه شیمیایی عناصر (جدول ۲) نشان دهنده‌ی درصد بالای TiO_2 و P_2O_5 در نمونه هاست که بیشتر با سری ماقمایی قلیایی همخوانی دارد. توزیع بیشتر سنگ‌های آتشفشنایی مورد بررسی در قلمرو بازالت و بازالت آندزیتی [۱۵] قرار دارند (شکل ۱۱) و تعدادی از نمونه‌ها به دلیل افزایش SiO_2 تحت تاثیر فرایندهای دگرسانی به سمت آندزیت گرایش پیدا کرده‌اند. همچنین تعدادی از نمونه‌ها در محدوده‌ی نفلینیت وارد شده‌اند که به دلیل افزایش عناصر

جدول ۲ نتایج آنالیز شیمیایی تعدادی از نمونه‌های مورد بررسی (XRF).

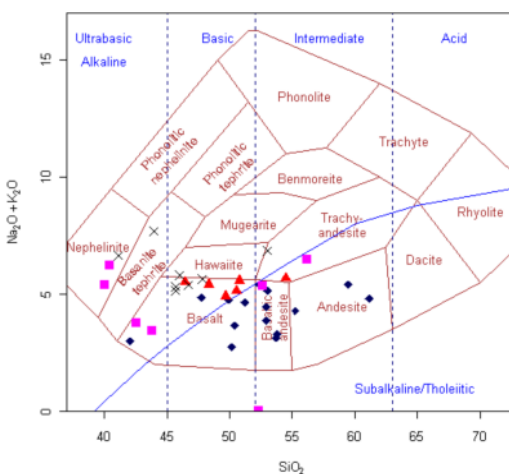
Sample	SiO_2	TiO_2	Al_2O_3	Fe_2O_3	MnO	MgO	CaO	Na_2O	K_2O	P_2O_5	Tot
Abyan1	51,16	1,99	17,93	12,65	0,14	7,5	10,46	1,135	1,59	0,197	98,752
Abyan2	52,02	2,538	17,37	11,19	0,079	4,6	3,22	2,48	2,64	0,347	97,484
Abyan3	51,2	2,763	15,82	12,23	0,121	4,27	4,4	3,71	0,94	0,342	95,796
Abyan4	50,39	2,458	16,27	12,05	0,202	5,28	5,47	2,74	0,9	0,362	96,222
Abyan5	59,49	2,805	16,81	11,62	0,04	1,43	1,89	3,08	2,32	0,45	99,935
Abyan6	55,72	3,063	14,89	11,89	0,123	1,79	5,72	2,85	1,41	1,25	98,256
Abyan7	52,72	2,681	17,11	13,68	0,08	4,03	4,08	3,53	1,86	0,351	99,772
Abyan8	52,9	2,753	17,01	12,72	0,021	3,21	1,33	3,2	1,2	0,626	95,17
Dalmeh1	40,03	2,7	14,59	13,96	0,152	7,16	4,82	2,56	2,81	0,314	89,796
Dalmeh 2	42,56	2,82	16,37	14,21	0,14	4,56	5,99	1,98	1,77	0,5	90,5
Zefreh	53,77	2,222	15,01	13,76	0,223	6,43	2,82	2,81	0,89	0,272	98,208
Zefreh	56,12	2,85	16,48	11,58	0,15	3,6	2,64	3,85	2,62	100	
Bagherabad	52,22	2,28	16,09	13,01	0,21	3,49	3,92	3,75	1,6	0,47	97,14
Jahagh1	49,68	2,836	18,123	17,183	0,172	5,156	3,26	4,771	0,169	0,433	98,743
Jahagh2	46,427	3,486	18,369	12,382	0,207	5,471	2,881	5,27	0,22	0,667	96,368
Jahagh3	48,282	3,436	19,276	12,422	0,13	4,808	5,03	4,798	0,601	0,369	99,217
p/Kh1	43,95	1,4	14,43	10,75	0,08	2,26	9,33	5,61	2,04	0,29	90,24
p/Kh2	45,69	1,27	13,39	12,41	0,1	6,88	8	3,91	1,71	0,16	93,02
p/Kh3	41,15	1,09	14,38	12,49	0,09	4,67	6,88	4,65	1,97	0,25	87,62
p/Kh4	47,182	1,72	14,21	11,5	0,1	8,4	6,8	4,96	0,65	0	96,17
p/Kh5	46	1,9	14,03	10,03	0,12	3,98	9,26	3,6	2,2	0,24	91,36

ادامه جدول ۲ نتایج آنالیز شیمیایی تعدادی از نمونه‌های مورد بررسی (ICP-MS).

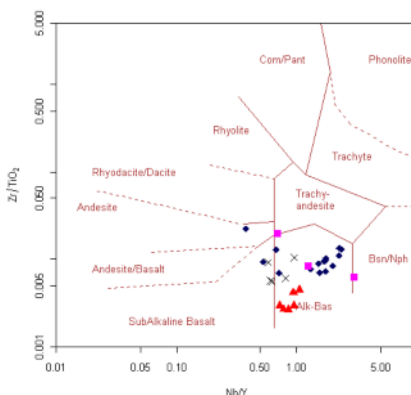
Sample	Ba	Sr	Ga	Nb	Hf	Zr	Y	U	Cr	Ni	V	Co	Cu	Pb	Zn	Rb
Abyan1	۲۱۲	۴۱۵	۱۰	۴۴	۸	۱۸۷	۲۶	۸	۶۱۰	۱۵۳	۲۸۴	۵۵	۱۳۲	۷۹	۲۹۲	۳۷
Abyan2	۳۰۶	۱۰۵		۲۵		۱۹۷	۱۹	۱	۴۴	۴۱	۲۹۱	۲۷	۲	۸	۲۰۳	۴۱
Abyan3	۱۸۱	۱۷۸		۲۵		۱۹۴	۱۶	۱	۲۳	۲۹	۳۲۲	۲۲	۲	۶	۲۱۴	۲۰
Abyan4	۱۳۱	۱۴۸		۳۷		۲۵۲	۲۱	۲	۱۹	۲۸	۲۲۰	۲۶	۱	۴	۲۷۵	۱۷
Abyan5	۷۹۸	۹۸		۳۴		۲۳۶	۱۷	۵	۳	۱	۲۹۲	۱۲	۱	۸	۷۵	۳۹
Abyan6	۲۵۴	۱۴۵		۳۵		۲۷۲	۲۳	۱	۱	۲	۲۶۵	۱۹	۱	۸	۱۱۰	۲۷
Abyan7	۲۲۶	۱۱۳		۲۸		۱۹۴	۱۶	۳	۲۸	۲۹	۳۲۸	۳۳	۲	۱۱	۱۳۲	۲۹
Abyan8	۱۵۹	۲۸۰		۴۳		۲۰۳	۱۹	۵	۱	۲۵	۲۷۸	۵۰	۱	۲	۳۶	۲۱
Dalmeh1	۶۵۰	۳۴۵	۲۳	۱۵	۵	۲۲۲	۱۲		۱۴۲	۱۱۴	۲۸۵	۳۰	۵۰	۸	۱۱۲	۴۲
Dalme2		۹۹۵	۸		۴۱۸۴	۲۰۰		۱	۹۹		۲۷۸	۴۴			۱۷۵	۶۴
Zefreh	۴۸۱	۲۵۰			۵۰۴۷	۱۳۱		۱۰۸	۴۸	۸۵	۱۶۳	۴۰	۰۰۳		۱۴۶	۷۵
Zefreh	۳۶۱	۱۵۳		۲۸		۲۱۴	۱۶	۲	۶۸	۳۷	۲۸۳	۴۰	۳	۸	۲۳۰	۱۳
Bagherabad	۴۰۲	۲۷۳			۶.۹۵	۲۳۰	۲۶	۴	۱۵۱	۶۵	۱۷۵	۴۴		۳	۱۶۶	۶۵
Jahagh1	۴۴.۵	۲۷۰		۲۷۱	۰.۵	۷۶	۳۴.۶	۰.۷۸	۵۶	۳۱	۱۷۸	۴۷.۷	۷.۸	۱/۱	۲۰۰	۲/۱
Jahagh2	۵۲.۴	۲۲۰		۳۴.۹	۰.۶	۱۰۲	۴۸.۱	۰.۸۹	۲۳	۹	۱۷۳	۳۶.۸	۹.۷	۱/۱	۱۷۳	۲
Jahagh3	۱۱۶	۵۴۹		۲۴.۳	۰.۶	۱۰۱	۲۵۰.۴	۰.۷۱	۶۰	۴۹	۲۲۵	۵۴	۱.۶	۴.۶	۱۴۲	۸.۶
p/Kh1	۲۴۶.۲	۱۹۳.۱	۱۰.۹	۱۶.۲	۴	۱۴۶.۵	۱۶.۸	۰.۶		۱۰۱	۱۶۶	۲۲.۸	۲۲.۶	۱۴.۹	۵۳	۲۱.۵
p/Kh2	۱۷۰.۵	۳۷۴.۶	۱۶	۱۳.۹	۲	۷۶.۴	۱۷.۱	۰.۴		۱۴۴.۶	۱۸۱	۴۱.۸	۵.۹	۵.۸	۲۷.۸	
p/Kh3	۱۸۴.۵	۲۲۶.۱	۱۰.۱	۱۱.۳	۲.۶	۱۰۰.۸	۱۹.۵	۰.۳		۱۰۲.۳	۱۶۳	۳۳.۸	۱۲.۵	۵	۵۰	۲۸.۱
p/Kh4	۱۵۰	۲۲۱	۱۱		۱۰.۳۸	۲۰۰		۰.۵		۱۹۵	۴۶			۱۰.۵	۲۵	

[ابیانه، دالمه، زرفه-باقرآباد]: [۴۹] (پل خاوند (P/Kh): [۹] (جهق (Jehagh): [۸]

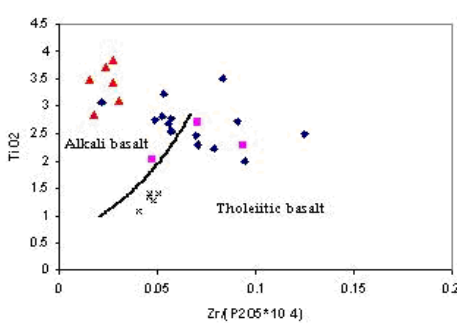
Sample	La	Ce	Nd	Pr	Sm	Eu	Gd	Tb	Dy	Ho	Er	Tm	Yb	Lu
Abyan1	۵۱.۶	۱۰.۸	۶۲.۸	۱۵.۴	۱۶.۸	۳.۹	۱۴.۴	۱.۹۳	۹.۶۹	۱.۳۲	۳.۳۷	۰.۳۷	۲	۰.۲۶
Abyan2		۴۵												
Abyan3														
Abyan4		۳۴												
Abyan5		۷۴												
Abyan6	۵۴.۲	۱۱۶	۷۲.۷	۱۷.۱	۱۹.۶	۳.۶۲	۱۷.۱	۲.۲۸	۱۱.۸	۱.۶۹	۴.۵۳	۰.۵	۲.۶۶	۰.۳۱
Abyan7		۷۶												
Abyan8	۱۵.۷	۳۶.۹	۲۷.۹	۵.۹۲	۱۰.۶	۱.۷۵	۸.۱۹	۰.۹۸	۴.۴۳	۰.۵۷	۱.۴۹	۰.۱۶	۰.۸	۰.۱
Dalmeh1		۵۰	۳۵	۸	۱۵	۲.۱۲	۸	۱.۱۲	۵.۱۳	۰.۸۵			۱.۵	۰.۲
Dalmeh 2	۲۵	۵۰												
Zefreh	۲۹	۵۵	۳۸	۹.۵	۱۲	۲.۱۲	۷.۵	۱.۲	۴.۸۵	۱.۰۵			۲.۰۹	۰.۱۲
Zefreh		۵۵												
Bagherabad														
Jahagh1	۲۵	۴۸.۸	۶.۳	۱.۱۸	۱.۴	۰.۶۵	۱.۵۸	۰.۲۳	۱.۰۵	۰.۲۳	۰.۴۵	۰.۰۷	۰.۲۶	۰.۰۴
Jahagh2	۲۹	۸۰.۵	۸.۵۴	۱.۶۳	۱.۹۲	۰.۸۴	۲.۲۲	۰.۳۲	۱.۴۵	۰.۲۱	۰.۵۸	۰.۰۹	۰.۲۴	۰.۰۵
Jahagh3	۲۶	۴۰.۳	۴.۶۶	۰.۹۱	۰.۹۵	۰.۳۵	۱.۰۹	۰.۱۶	۰.۷۲	۰.۱۶	۰.۳۲	۰	۰.۲۱	۰.۰۳
p/Kh1	۲۱.۴	۴۴.۶	۲۰.۳	۵.۳۵	۴.۲۴	۱.۲۴	۳.۵۵	۰.۶۳	۳.۲۷	۰.۵۸	۱.۶۷	۰.۲۵	۱.۴۱	۰.۲۱
p/Kh2	۱۲.۵	۲۵.۴	۱۷.۳	۳.۱۱	۳	۰.۹۸	۲.۲۱	۰.۶۷	۳.۱	۰.۵۹	۱.۶۴	۰.۲۶	۱.۳۹	۰.۱۹
p/Kh3	۱۴.۲	۳۱	۱۰.۶	۳.۹۴	۳.۰	۱.۰۹	۳.۷۱	۰.۶۷	۳.۶۶	۰.۶۵	۱.۹	۰.۲۶	۱.۵۹	۰.۲۵
p/Kh4	۱۱.۳	۲۰.۳۲	۷	۳.۰	۰.۹۹	۳.۸۱	۰.۴۷	۲.۰۲	۰.۵	۷	۰.۲۲	۱.۲۴	۰.۱۸	



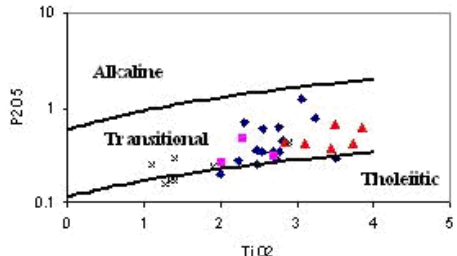
شکل ۱۱ نمودار نامگذاری سنگ‌های آتش‌فراشی و جدایش سری سنگ‌های ساب آلکالن از آلکالن [۱۵].



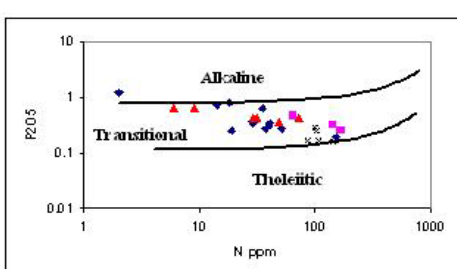
شکل ۱۲ موقعیت نمونه‌های مورد بررسی در نمودار Zr/TiO_2 - Nb/Y [۱۶] (ابیانه ♦، دالمه □، زفره ■، جهق ▲، انارک (پل خاوند) ✕).



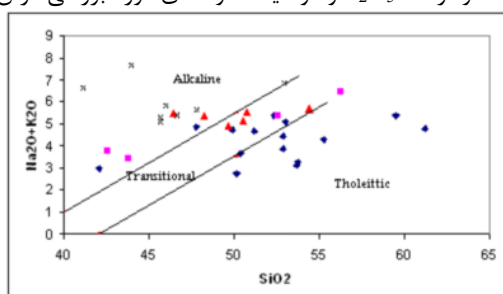
شکل ۱۳ نمودار جدا کننده بازالت‌ها بر اساس TiO_2 - $Zr/(P_2O_5 \times 10^4)$ [۱۶]



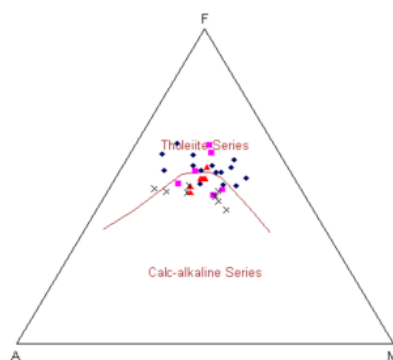
شکل ۱۴ نمودار P_2O_5 و موقعیت قرارگیری نمونه‌های مورد نظر در آن [۱۶].



شکل ۱۵ نمودار P_2O_5 و موقعیت نمونه‌های مورد بررسی در آن [۱۷]



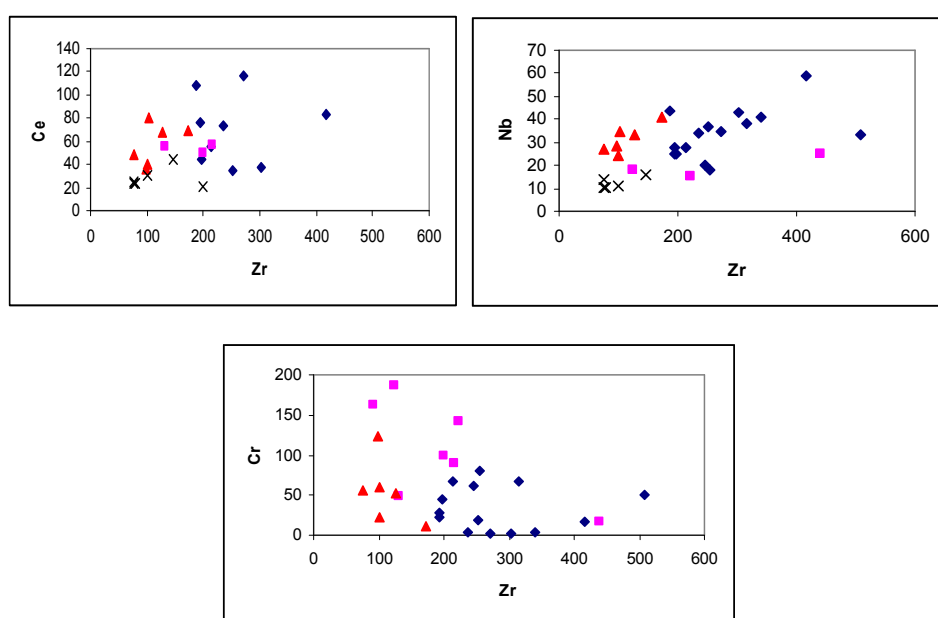
شکل ۱۶ نمودار Na_2O+K_2O و موقعیت نمونه‌های مورد بررسی در آن [۱۸]



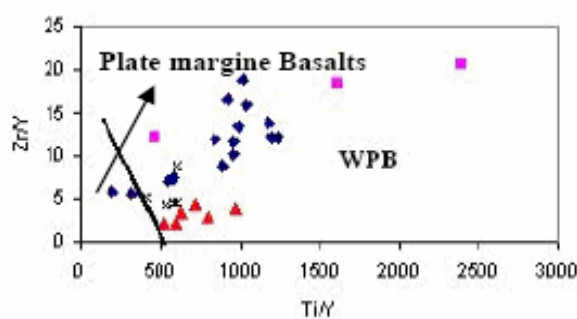
شکل ۱۷ نمودار AFM (A = $\text{Na}_2\text{O} + \text{K}_2\text{O}$, F = FeO, M = MgO) [۱۹].

[۲۳]. بر این اساس تمامی نمودارهای تغییرات عناصر ناسازگار و سازگار نمونه‌های سنگی منطقه (شکل ۱۸) نشان دهنده‌ی شکل‌گیری آن‌ها از خاستگاه کم و بیش مشترک و نیز نقش اساسی تبلور جدایشی در تشکیل آن‌هاست. اکنون این مسئله مطرح می‌شود که این بازالت‌ها به کدام مناطق تکتونوماگمایی تعلق دارند. نمودار [۲۴] نمونه‌های مورد بررسی را در گستره‌ی بازالت‌های درون صفحه‌ای نشان می‌دهد. میزان بالای Y/Zr و نسبت بالای Zr/Y (بین ۲۰ تا ۲۵) [۲۵] بیانگر یک محیط درون صفحه‌ای برای این سنگ‌های آتشفسانی است. نمونه‌های مورد بررسی بیشتر در گستره‌ی بازالت‌های انتقالی تا قلیایی قرار می‌گیرند (شکل ۲۰).

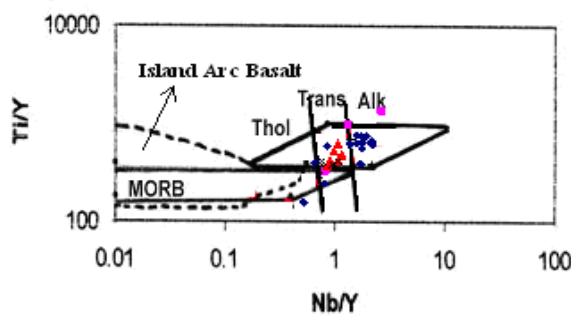
نمونه‌های مورد بررسی دارای ترکیب کم و بیش یکنواخت بوده و بیشتر بازالتاند. با توجه به اینکه عواملی نظیر تبلور تفریقی و ذوب بخشی ممکن است در ایجاد ارتباط ژنتیکی و زایشی بین سنگ‌ها موثر باشند، لذا برای تشخیص نقش و تاثیر هر یک از این عوامل از نمودارهای عناصر سازگار و ناسازگار در برابر یکدیگر استفاده شد. به عقیده‌ی بسیاری از سنگ شناسان اگر در یک سری سنگی، نمودار تغییرات دو عنصر ناسازگار دارای روند خطی و مثبت باشد و از مبدأ مختصات بگذرد و نیز در نمودار عناصر سازگار-ناسازگار آن سری نیز روند خطی و منفی دیده شود، در این صورت می‌توان فرایند اصلی وابسته به تشکیل سنگ‌های سری یادشده را تبلور جدایشی دانست [۲۱-۲۲].



شکل ۱۸ نمودارهای تغییرات عناصر ناسازگار-ناسازگار-ناسازگار نمونه‌های مورد بررسی.
(ابیانه ♦، دالمه - زفره ■، جهق ▲، انارک (پل خاوند) ✕)



شکل ۱۹ نمودار جدا کننده بازالتها براساس [۲۵] Zr/Y-Ti/Y.



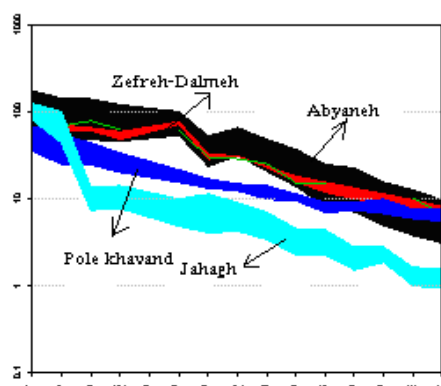
شکل ۲۰ نمودار جدا کننده بازالتها براساس [۲۴] Ti/Y-Nb/Y.

REE بهنجار شده بر حسب کندریت، MORB و گوشه‌ی اولیه حاکی از غنی شدگی LREE نسبت به HREE هستند. موازی بودن تقریبی الگوی عناصر در سنگ‌های مناطق مورد بررسی در این نمودارها تایید کننده نتایج به دست آمده از بخش‌های قبلی مبنی بر خاستگاه کم و بیش مشترک این سنگ‌ها و نقش تبلور تفریقی به عنوان ساز و کار اصلی تشکیل این سنگ‌هاست. کاهش HREE در این بازالت‌ها با خاستگاه گارنت لرزولیتی سازگار است. از آنجا که یکی از شرایط لازم برای تشکیل گارنت عمق مناسب است، لذا در سنگ‌هایی که میزان عناصر کمیاب سبک آن‌ها در مقایسه با عناصر کمیاب سنگین غنی شدگی نشان می‌دهد، به نظر می‌رسد که مagma میان این سنگ‌ها از اعمق ریشه گرفته است. از طرفی درجه‌ی اولیه این سنگ‌ها از گارنت لرزولیتی باعث تشکیل ذوب بخشی پایین این گوشه‌ی اولیه نشان می‌دهد، به نظر می‌رسد که مagma این سنگ‌ها از عناصر ناسازگار [۳۰] و باقی ماندن HREE در گارنت و غنی شدگی LREE نسبت به HREE [۳۱] می‌شود. از آنجا که هر محصول مagma می‌باشد مشتق شده از یک خاستگاه گوشه‌ی اولیه شده، بدون آسودگی پوسته‌ای، باید الگویی از عناصر ناسازگار مسطح از خود نشان دهد [۳۲]، غنی شدگی در عناصر ناسازگار و عناصر LILE در نمونه‌های مورد

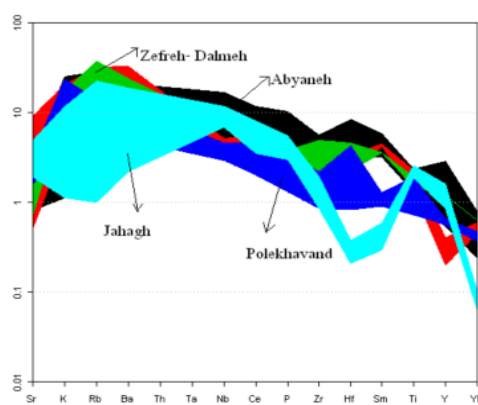
در بررسی کلی نتایج آنالیز نشان از غنی بودن بیشتر نمونه‌ها از تیتان است. به همین ترتیب بازالت‌های غنی از تیتان ($TiO_2 > 2\%$) را به سری قلیایی ریفت‌های قاره‌ای نسبت می‌دهند. از دیگر موارد قابل توجه، فراوانی نسبی اکسیدهای آهن در نمونه‌های است. در نتیجه به این نمونه‌ها می‌توان اصطلاح فربوبالات را هم اطلاق کرد. حضور فربوبالات‌های وابسته به سری تحولی، غنی بودن نمونه‌ها از TiO_2 . استفاده از نمودارهای متعدد، پیدایش فازهای خشکی زائی همراه با مواد آتشفشاری بازی در پالئوزوئیک و تشکیل فروافتادگی‌های متعدد در ایران [۲۶-۲۸] نشان از تشکیل ریفت‌های قاره‌ای در پهنه‌ی ایران در این زمان است. در بررسی مسائل تکتونوماگمایی بازالت‌های گستره‌ی مورد بررسی از نمودارهای عنکبوتی استفاده شد. در شکل‌های ۲۱ تا ۲۳ الگوی نمودار عنکبوتی و نمودار فراوانی عناصر کمیاب (بهنجار شده نسبت به کندریت، گوشه‌ی اولیه، مورب) [۲۹] نشان داده شده است. چنانکه ملاحظه می‌شود REE‌ها در بازالت‌های مورد بررسی کم و بیش شبیه به الگوی REE وابسته به بازالت‌های قلیایی وابسته به شکاف‌های قاره‌ای است. البته به دلیل دگرگونی‌ها و دگرسانی‌های رخداده، یکنواختی چندان زیادی نشان نمی‌دهند ولی در کل، مقادیر

نمونه‌ها مشاهده می‌شود، می‌تواند به ناسازگاری این عناصر در سنگ خاستگاه و ورود آنها به ماقمای سازنده‌ی سنگ‌های آتشفسانی در طول ذوب بخشی کم مربوط باشد. ناهنجاری نسبتاً منفی Nb نیز نشانگر تاثیر کم آلایش ماقما با مواد پوسته است. در نمونه‌های ابیانه، دالمه و زفره بی هنجاری نسبتاً منفی در Eu مشاهده می‌شود. بی هنجاری‌های Eu با فلدسپات‌ها کنترل می‌شود. بی هنجاری منفی Eu می‌تواند ناشی از دگرسانی و آبیتی شدن پلاژیوکلازها باشد، Ziria به جانشین شدن Ca در پلاژیوکلازها تمایل زیادی دارد. از طرفی وجود بیهنجاری منفی این عنصر در نمونه‌ها می‌تواند نشانه‌ی جدایش پلاژیوکلاز در فشارهای کم باشد [۳۴]. در نمونه‌های منطقه‌ی جهق، Eu تقریباً فاقد بی هنجاریست. عدم حضور بی هنجاری Eu را می‌توان به تبلور همزمان پیروکسن با پلاژیوکلاز و از طرفی به بالاتر بودن فوگاسیته اکسیژن نسبت داد.

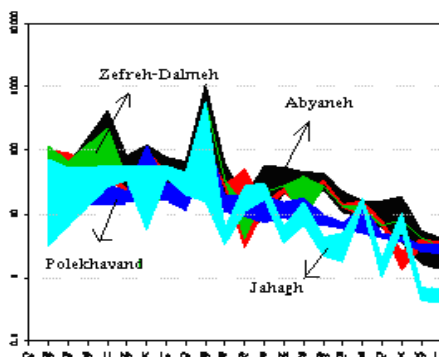
بررسی تا حدودی نتیجه‌ی آلودگی مذاب با پوسته‌ی قاره‌ای است. به عقیده‌ی [۳۳]، نسبت‌های Ce/Y و Zr/Y در طول تبلور جدایشی نسبتاً ثابت و بدون تغییر باقی می‌مانند، ولی در طول درجات بالای آلایش پوسته‌ای به مقدار زیاد تغییر می‌کنند. مقادیر این پارامترها در سنگ‌های مناطق مورد بررسی برابر $1/4$ تا 5 برای Ce/Y و $2/1$ تا حدود 18 برای Zr/Y است. لذا می‌توان گفت که آلایش پوسته‌ای کم و بیش (نه چندان زیاد) موثر بوده است. وجود یک رشته بی‌نظمی (بی هنجاری مثبت و منفی) در مقادیر عناصر Ba، Rb و Sr در این نمودارها، بیشتر به دگرسانی رخ داده در سنگ‌های آذرین مناطق مورد بررسی و تحرك بالای این عناصر نسبت داده می‌شود. میزان REE در نمونه‌های ابیانه نسبت به نمونه‌های جهق و پل خاوند، غنی شدگی نسبتاً بیشتری نشان می‌دهد. شاید فراوانی بیشتر پیروکسن و الیوین در نمونه‌های منطقه جهق سبب تهی شدگی عناصر REE شده است [۸]. بی هنجاری مشبت در عناصر Zr، Ti و Y که در تعداد زیادی از



شکل ۲۱ نمودار عنکبوتی عناصر کمیاب و لکانیک‌های منطقه بر حسب کندریت [۲۹]



شکل ۲۲ فراوانی عناصر کمیاب در لکانیک‌های مورد مطالعه بهنجار شده بر حسب مورب [۲۹]



شکل ۲۳ فراوانی عناصر کمیاب و لکانیک‌های منطقه بهنجار شده بر حسب گوشته‌ی اولیه [۲۹].

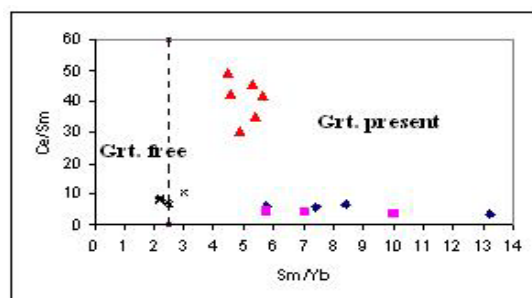
گارنت و عدم حضور گارنت است. ناهمگنی‌های ناچیز ترکیب گوشته‌ی بالایی از تغییرات عناصر HFS و نسبت‌های عناصر ناسازگار دیگر، تغییرات روشی در حاصلخیزی گوشته و اثرهای REE آلیش سنگ دیواره مشخص می‌شود. حساسیت توزیع ها نسبت به گارنت در سنگ خاستگاه ماقمای باقی مانده، پاسخی برای افزایش نسبت Sm/Yb است [۳۶]. با توجه به شکل ۲۴ موقعیت سنگ‌های آتشفشاری مورد بررسی در گستره‌ی با مقدار Sm/Yb بیش از ۲/۵ قرار گرفته که بازتاب دهنده‌ی تعادل مذاب با گارنت لرزولیت است. به منظور تشخیص میزان غنی شدگی محل خاستگاه (جدایی خاستگاه‌های غنی شده از تهی شده) سنگ‌های آذرین منطقه، از نسبت های عناصر ناسازگار Zr/Nb و Zr/Y ارائه شده توسط [۲۹] استفاده شده است. این عناصر به دلیل تحرک بسیار پایین خود حتی در درجه‌های بالای دگرسانی، برای تفسیرهای سنگ زایی نمونه‌های دگرسان بسیار مفیدند [۳۸]. بر این اساس تمامی نمونه‌های مناطق مورد بررسی در گستره‌ی گوشته‌ی غنی شده قرار می‌گیرند (شکل ۲۵). در این نمودارها کمی پراکندگی مشاهده می‌شود. از آنجا که تبلور جدایشی نمی‌تواند تغییرات بنیادی در نسبت‌های عناصر ناسازگار نظیر Zr/Nb و Zr/Y ایجاد کند [۲۳] و از طرفی میزان تغییرات در مقدار Nb نمونه‌های مورد بررسی نیز کم است، می‌توان گفت که این تغییرات ناشی از تفاوت در درجه‌ی ذوب بخشی در یک خاستگاه همگن [۳۹] و یا ناشی از ناهمگنی محل خاستگاه باشد [۴۰]. در نمودار Zr/Nb نسبت به La/Nb [۴۰] نمونه‌های مورد بررسی بیشتر به سمت گستره‌ی گوشته‌ی غنی شده (EM) تمایل نشان می‌دهند. این نمودار خود تاییدی بر نتایج

پتروژنز

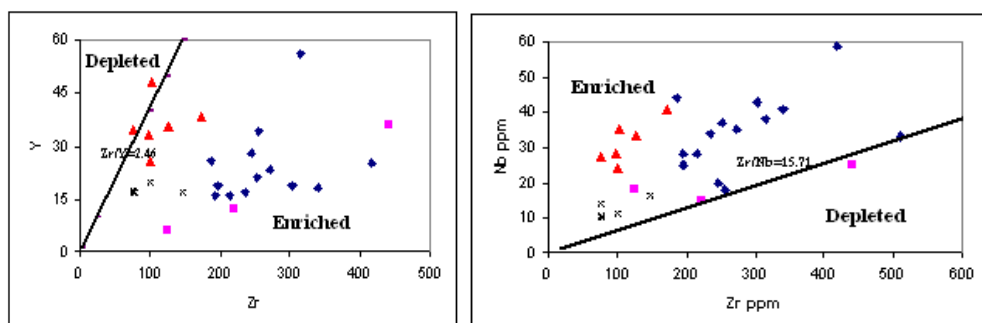
امروزه پذیرفته شده است که ماقمای بازالتی از ذوب گوشته به وجود می‌آید. چنانچه فرض شود که گوشته‌ی زمین خشک است (در حالت اشباع از آب)، پدیده‌ی ذوب در دما و فشار بالای سنگ‌های رویی رخ می‌دهد و هرگونه کاهش فشار (مثلاً به دلیل شکستگی) در ناحیه‌ی پوسته و یا زیر پوسته، نه تنها باعث ذوب بخشی می‌شود بلکه مجرایی برای حرکت ماقمای سمت بالا فراهم می‌شود. احتمالاً ترکیب گوشته، در عمق تقریباً ۱۰۰ کیلومتری در زیر اقیانوس‌ها، گارنت پریدوتیت است که از ذوب بخشی آنها نخست بازالت و در ادامه ماقمایی با ترکیب بازالت غنی از الیوین و درنهایت ماقمای پریدوتیتی به وجود می‌آید. ترکیب ماقمای ناشی از ذوب بخشی گوشته به فشار بستگی دارد [۳۵]. نمونه‌هایی که دارای Zr و Y بالا هستند نشان دهنده‌ی ماقمای قلیایی هستند. چون Zr ناسازگار است بنابراین در هنگام ذوب بخشی سریعتر وارد فاز مذاب می‌شود. حساسیت توزیع REE ها نسبت به حضور گارنت در سنگ خاستگاه باقی مانده، احتمالاً نقش مهمی در ایجاد روندهای جدایشی REE بازی می‌کند [۳۶]. بر همین اساس نمودارهایی بر اساس نسبت عناصر نادر برای بررسی سنگ خاستگاه ارائه شده اند. نسبت Sm/Yb در مذاب‌های بخشی گوشته در حضور گارنت نسبت به حالتی که گارنت حضور ندارد سریع تر افزایش می‌یابد، همان طور که نسبت Ce/Sm در جدایش به طور نسبی افزایش می‌یابد [۳۷]. نمودار ۲۴ برای بررسی حضور و عدم حضور گارنت در خاستگاه گوشته ارائه شده است. در این نمودار که از نسبت‌های عنصری Sm/Yb و Ce/Sm استفاده شده است نسبت Sm/Yb = 2.5 ملاک جدایش دو گستره‌ی

[۴۵، ۴۶] و ماقماهای قلیایی از ذوب کمتر از ۱۰ درصدی [۴۶] پریدوتیت‌های گوشته‌ی فوقانی حاصل می‌شوند. مقایسه‌ی درجه ذوب بخشی خاستگاه نمونه‌های مورد بررسی (جهق کمتر از ۱۰ درصد و سایر نمونه‌ها ۱۰ تا ۱۶ درصد) با مقادیر واپسته به بازالت‌های قلیایی و نیمه قلیایی (به ترتیب کمتر از ۱۰ درصد و بیشتر از ۱۵ درصد) نشان از ماهیت قلیایی (خصوصاً نمونه‌های واپسته به جهق [۱۸]) تا نیمه قلیایی (ماهیت انتقالی) ماقمای منطقه است. به عقیده‌ی [۲۲]، بازالت‌های قاره‌ای در مراحل اولیه‌ی کافت‌زایی بیشتر ماهیت قلیایی دارند ولی زمانی که نرخ کشش پوسته‌ای زیاد باشد، این احتمال وجود دارد که انواع بازالت‌های حدوداً میانه یا انتقالی نیز دیده شوند. تمایل سنگ‌های مناطق مورد بررسی به سمت انتقالی، می‌تواند نشانی از ادامه نازک‌شدنگی پوسته در این مناطق از ایران مرکزی طی پالئوزوئیک باشد. حضور سنگ‌های آذرین با ترکیب قلیایی به سمت تحولی یکی از ویژگی‌های پالئوزوئیک زیرین در ایران مرکزی است که رخنمون‌های آن‌ها در مناطقی همچون ترود [۴۷]، کاشان-سه [۴۸، ۴۹]، جام [۵۰، ۵۱] و شیر گشت [۴۲] گزارش شده است.

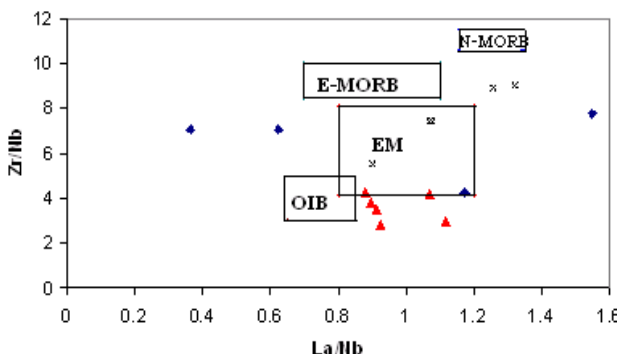
نمودارهای قبلی و لذا نشان از غنی شدگی محل خاستگاه ماقمای تشکیل دهنده‌ی این سنگ‌هاست (شکل ۲۶). به عقیده‌ی برخی از شناسان اگر ترکیب بازالت‌های درون قاره‌ای به ترکیب بازالت‌های جزایر اقیانوسی (OIB) شباهت داشته باشد، در این صورت بازالت‌های درون قاره‌ای از گوشته استنوسفری ریشه گرفته‌اند [۴۱]. از طرفی بنابر نظر [۳۳] اگر مقادیر La/Nb و Zr/Nb در نمونه‌های سنگی مشابه مقادیر OIB باشند، ماقمای تشکیل دهنده‌ی آنها دارای خاستگاه استنوسفری است [۴۲]. در شکل ۲۶، چنانکه ملاحظه می‌شود، هیچ کدام از نمونه‌ها در گستره‌ی OIB قرار نگرفته‌اند و لذا نشان از عدم ریشه‌گیری ماقمای آنها از استنوسفر است. برای تعیین درجه ذوب‌بخشی سنگ خاستگاه از نمودار Dy/Yb نسبت به La/Yb استفاده شد. با توجه به نمودار ۲۷، نمونه‌های مناطق مورد بررسی (غیر از نمونه‌های جهق) روی منحنی ۱۰ تا ۱۶ درصدی از ذوب بخشی یک خاستگاه گارنت پریدوتیتی قرار گرفته‌اند. چنانکه شکل نشان می‌دهد، نمونه‌های واپسته به منطقه‌ی جهق، درصد ذوب بخشی بسیار کمی را نشان می‌دهند. بررسی‌های تجربی نشان می‌دهند که ماقماهای بازالتی نیمه قلیایی از ذوب ۱۵ تا ۳۰ درصد



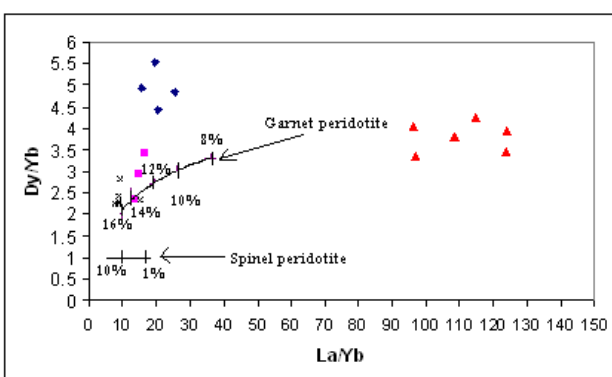
شکل ۲۴ موقعیت سنگ‌های آتشفسانی مناطق مورد بررسی در نمودار Sm/Yb نسبت به Ce/Sm [۳۶].



شکل ۲۵ نمودارهای جدایش خاستگاه غنی شده و تهی شده با استفاده از نسبت‌های Nb/Zr و Y/Zr [۳۸].



شکل ۲۶ نمودار تعیین سرنشت خاستگاه ماقمای تشکیل دهندهی سنگ‌های مناطق مورد بررسی [۴۰].



شکل ۲۷ تعیین درجهٔ ذوب بخشی محل خاستگاه ماقمای تشکیل دهندهی سنگ‌های مناطق مورد بررسی [۴۳].
(ابیانه ♦، دالمه - زفره ■، جهق ▲، انارک (بل خاوند) ×)

(زفره – باقرآباد) بیانگر رخداد ضعیف ماقماتیسم ناشی از حرکت‌های محلی در پوسته‌ی ایران زمین هنگام رخداد این جنبش‌ها بوده است.

قدرتدانی

از جناب آقای دکتر علی همدانی، دکتر قدرت‌ترابی و دکتر محسن طباطبایی‌منش (اعضاً هیئت علمی گروه زمین‌شناسی دانشگاه اصفهان) به خاطر اینکه اطلاعات و داده‌های گرانبهای خود را در اختیار نویسنده‌گان مقاله گذاردند، نهایت سپاس و قدردانی را می‌نماییم.

مراجع

- [۱] زاهدی م، "نقشه زمین‌شناسی چهارگوش سه، مقیاس ۱/۱۰۰۰۰۰، چاپ سازمان زمین‌شناسی کشور، (۱۳۵۱).
- [۲] Stocklin J., "Structural history and tectonics of Iran", A review; American Association Petrol. Geology 7 (1968) 1229-1258.
- [۳] نبوی م. ح، "دبیاچه ای بر زمین‌شناسی ایران"، انتشارات سازمان زمین‌شناسی کشور، (۱۳۵۵) ۱۰۹ صفحه.

برداشت برای بررسی بیشتر چگونگی زمین‌شناسی پالئوزوئیک ایران مرکزی، سنگ‌های آتشفسانی در مناطق مختلف مورد بررسی و مقایسه قرار گرفتند. سنگ‌های نمونه برداری شده کم و بیش یکنواخت و غالباً از نوع بازالتاند. غنای این بازالت‌ها از تیتان، گسترش زیاد و ضخامت قابل توجه و میان لایه بودن این افق‌های آتشفسانی و رسوب‌ها نشان دهنده ارتباط آن‌ها به یک رژیم زمین‌ساختی کشنی از نوع ریفت درون قاره ایست. بررسی‌های ژئوشیمیایی نشان از طبیعت تولیتی متغیر به قلیایی (تحولی) ماقماتیسم و یکسان بودن تقریبی شرایط پتروزنس و ماهیت آتشفسان و خاستگاه آن‌هاست. الگوی تغییرات عنصر کمیاب و نمودارهای عنکبوتی حاکی از درجه‌های نسبتاً کم آلایش ماقمایی است. ماهیت انتقالی تا قلیایی و درجه‌ی ذوب بخشی محاسبه شده نشان از نازک شدگی پوسته‌ای در طی پالئوزوئیک زیرین و ارتباط آن با یک محیط کشنی درون قاره‌ای در این زمان است. تاکنون تصور می‌شد که جنبش‌های هرسی نین در ایران تنها با خشکی‌زایی همراه بوده است. پیدایش سنگ‌های نفوذی در شمال شرقی اصفهان

- [17] Floyd P. A., Winchester J. A., "Magma – type and tectonic setting discrimination using immobile elements", *Earth planet Science Letters* 27 (1975) 211-218.
- [18] Piccirillo E.M., Justin-Visentin E., Zanettin B., Joron J.L., Treuil M., "Geodynamic evolution from plateau to rift: Major and trace element geochemistry of the central eastern Ethiopian plateau volcanics", *Neues Jahrb. Geol. Palaeontology Abstract* 158 (1979) 139-179.
- [19] Irvin, T.N., Baragar W.K.A., "A guide to the chemical classification of the common volcanic rocks", *Canadian Journal of Earth Science* 8 (1971) 523-548.
- [20] Nockolds S. R., Allen R., "The geochemistry of some igneous rock series", *Geochim Cosmochim Acta* 4 (1954) 42-105.
- [21] Rogers J.J.W., Rayland P.C., "Trace elements in continental margins magmatism", Part1. *Society American Bulliten* 91 (1980) 196-198.
- [22] Wilson M., "Igneous Petrogenesis", published by the Academic Division of Unwin Hyman ltd (1989) 421 p.
- [23] Alvaro J.J., Ezzouhairi H., Vennin E., Riberiro M.L., Clausen S., Charif A., Ait Ayad N., Moreira M.E., "The early Cambrian Boho volcano of the El Graraa massif, Morocco, Petrology, Geodynamic setting and coeval sedimentation", *Journal of African Earth Science*, 44 (2006) 396-410.
- [24] Pearce J. A. Norry M. J., "Petrogenetic implication of Ti, Zr, Y and Nb variation in volcanic rocks", *Contribution to Mineralogy and Petrology* 69 (1979) 33-47.
- [25] Pearce J. A., "Trace element characteristics of lava from destructive plate boundaries", In: Thorpe, R. S. (ed.), *Andesites*, Wiley, Chichester (1982) 525-548.
- [26] Stocklin J., "Structural correlation of the Alpine ranges between Iran and Central Asia", *Mem. Ser. Soc. Geol. France* 8 (1977) 333-353.
- [27] Affereto R., 1963, "The Paleozoic formations in central Elbourz (Iran)", Preliminary note; *Riv. Ital. Paleontology Stratigraphy* 4 (1963) 505-543.
- [28] Gansser A., "New aspects of the Geology in central Iran (with discussion)", *World Petrol. Congress* 4th, Rome 1 (1995) 278-300.
- [29] McDonough W. F., Sun S., "The composition of the Earth", *Chemical Geology*, 120 (1995) 223-254.
- [30] Sun S., Hanson G.N., "Evolution of the mantle: Geochemical evidence from alkali basalt", *Geology* 3 (1975) 297-302.
- [۴] کبریائی زاده م.ر., "بیواستراتیگرافی کنودونت های دونین پسین در ناحیه زفره، شمال شرق اصفهان", پایان نامه کارشناسی ارشد، دانشگاه اصفهان، (۱۳۷۶) ۱۲۲ صفحه.
- [۵] حقی پورا، واله ن، پلیس ح. و دادزاده م., "چهارگوش زمین شناسی اردکان با مقیاس ۱:۲۵۰۰۰۰", سازمان زمین شناسی کشور، (۱۹۷۷) ۱۲۱ صفحه.
- [۶] هایراپطیان و، "بیواستراتیگرافی سنتگهای دونین زیرین در ناحیه دالمه، شمال شرق اردکان بر اساس کنودونتها و بقایای مهره داران", پایان نامه کارشناسی ارشد، دانشگاه اصفهان، (۱۳۷۸) ۱۴۱ صفحه.
- [۷] خلعت بری جعفری م، علایی مهابادی، "نقشه زمین شناسی و اکتشافات معدنی کشور", (۱۳۷۷).
- [۸] میرلوحی ا، "پترولوزی و خاستگاه ژئوتکتونیکی بازالت های پالئوزوئیک زیرین دره جهق(جنوب کاشان)", دانشکده علوم، دانشگاه اصفهان، (۱۳۸۷) ۱۵۳ صفحه.
- [۹] هاشمی ف، "پترولوزی بازالت های دونین در منطقه پل خاوند (جنوب شرق انصارک)", پایان نامه کارشناسی ارشد، دانشکده علوم، دانشگاه اصفهان، (۱۳۸۶) ۱۵۲ صفحه.
- [10] Nisbet E. G., Pearce, J. A., "Clinopyroxene composition in mafic lavas from different tectonic settings", *Contribution to Mineralogy and Petrology* 63 (1977) 149-160.
- [11] Morimoto N., "Nomenclature of Pyroxenes", *Canadian Mineralogist* 27 (1988) 143-156.
- [12] Le Bas M. J., "The role of aluminium in igneous clinopyroxenes with relation to their parentage", *American Journal of Science* 260 (1962) 267-288.
- [13] Kushiro J., "Si-Al relation in clinopyroxene from igneous rocks", *American Journal of Science* 258 (1960) 548-554.
- [14] Leterrier J., Maury R. C., Thonon P.G., Girard D., Marchal M., "Clinopyroxene composition as a method of identification of the magmatic affinities of paleo- volcanic series", *Earth and Planetary Science Letters* 59 (1982) 139-154.
- [15] Cox K. G., Bell, J. D., Pankhurst, "The interpretation of igneous rocks", London, Allen & Unwin, (1979) 450 p.
- [16] Wincheter J.A., Floyd P.A., "Geochemical discrimination of different magma series and their differentiation products using immobile element", *Chemical Geology* 20 (1977) 325-343.

آذرین پالئوزوئیک زیرین در منطقه شیرگشت، شمال غرب طبس، ایران مرکزی، مجله بلورشناسی و کانی شناسی ایران، شماره ۲ (۱۳۸۷) ص ۲۰۷-۲۲۴.

[43] Kuepoue G., Tchouankoue J.P., Nagao T., Sato H., "Transitional tholeiitic basalts in the tertiary Bana volcano-plutonic complex, Cameroon line", Journal of African Earth Science 45 (2006) 318-332.

[44] Green D.H, Ringwood A.E., "Genesis of the calc-alkaline igneous rock suite", Contribution to Mineralogy and Petrology 18 (1968) 105-162.

[45] Green D.H., "Experimental mantle composition under water saturated and water unsaturated conditions", Earth and planetary science letters 19 (1973) 37-53.

[46] Hirschmann M.M., Ghiorse M.S., Wasylenki L.E., Asimow P.D., Stopler E.M., "Calculation of Peridotite partial melting from thermodynamic models of minerals and melts, I. Methode and composition to experiment", Journal of Petrology 39 (1998) 1091-1115.

[۴۷] هوشمند زاده ع.، علوی نایینی م.، حقی پور، تحول پدیده های زمین شناسی ناحیه ترود (پرکامبرین تا عهد حاضر)، سازمان زمین شناسی کشور، (۱۳۷۸) ۱۳۸ صفحه.

[۴۸] زاهدی م.، بررسی زمین شناسی ناحیه سه، جنوب کاشان، گزارش شماره ۲۷ سازمان زمین شناسی کشور، (۱۳۷۱) ۱۹۷ صفحه.

[۴۹] آیتی ف.، خلیلی م.، نقره ظیان م.، پترولوبزی و ژئوشیمی ماقماتیسم پالئوزوئیک زیرین در دره ابیانه، پایان نامه کارشناسی ارشد، دانشکده علوم، دانشگاه اصفهان، (۱۳۸۳).

[50] Alavi Naini M., "Etude geological de la region de jam", Geological Survey of Iran, (1972) 44P.

[۵۱] ناجی ا.، قاسمی ح.، پتروزنر سنگ های آذرین پالئوزوئیک زیرین - میانی بخش های از ایران مرکزی، هشتمین همایش انجمن زمین شناسی ایران، (۱۳۸۳).

[31] Wass S.Y., Rogers N.W., "Mantle metasomatism – precursor to alkaline continental volcanism", Geochim Cosmochim Acta 44 (1980) 1811-1823.

[۳۲] کریم زاده شمرین ع.، "کاربرد داده های ژئوشیمیایی" تالیف رولینسون، (۱۹۹۲)، انتشارات دانشگاه تبریز، (۱۳۸۱) ۵۵۷ صفحه.

[33] Conly A. J., Brenan J. M., Bellon H., Scott S.D., "Arc to rift transitional volcanism in the Santa Rosalia Region, Baja California Sur, Mexico", Journal of Volcanology and Geothermal Research 142 (2005) 303-341.

[34] Jung S., Hoernes S., "The major and trace element and isotope geochemistry of Cenozoic alkaline rift-type volcanic rocks from the Rhône area: petrology, mantle source characteristics and implications for asthenosphere lithosphere interactions", Journal of Volcanology and Geothermal Research 99 (2000) 27-53.

[35] Hall A., "Igneous petrology", Longman publishing (1990) 552p.

[36] Coban H., "Basalt magma genesis and fractionation in collision and extension related provinces: A comparison between Eastern, Central and Western Anatolia", Earth-Science Reviews 80 (2007) 219-238.

[37] Hawkesworth C.J.K., Gallager I.M., Herget F., McDermott, "Destructive plate margin magmatism: geochemistry and melt generation", Lithos, 33 (1994) 169-188.

[38] Widdowson M., Pringle M. S., Fernandez O.A., "A post K-T boundary (early Paleocene) age for Deccan-type feeder dykes, Goa, India", Journal of Petrology 41 (2000) 1177-1194.

[39] Rao D.R., Rai H., "Signatures of rift environment in the production of garnet-amphibolites and eclogites from Tso-Morari region, Ladakh, India", A geochemical study, Gondwana Research 9 (2006) 512-523.

[40] Weaver B. L., Tarney J., "The Scourie dyke suite: petrogenesis and geochemical nature of the Proterozoic subcontinental mantle", Contribution to Mineralogy and Petrology 78 (2001) 175-188.

[41] Alliche P., Temel A., Gourguad A., "Pb-Nd-Sr isotope and trace element geochemistry of Quaternary extension – related alkaline volcanism: a case study of Kula region", Journal of Volcanology and Geothermal Research 115 (2002) 487-510.

[۴۲] قاسمی ح.، درخشی م.، "کانی شناسی، ژئوشیمی و نقشه فرایند جدایش مکانیکی بلورهای الیوین در تشکیل سنگ های